



## نگرشی نو بر سنگ‌های دگرگونی منطقه‌ی بروجرد

احمد احمدی‌فلمنی<sup>۱</sup>، زهرا طهماسبی<sup>۲</sup>، شهریار کشتگر<sup>۳\*</sup>

(۱) دانشگاه لرستان، دانشکده‌ی علوم، گروه زمین‌شناسی  
khalagi2002@yahoo.com

(۲) دانشگاه لرستان، دانشکده‌ی فنی و مهندسی، گروه معدن

(۳) دانشگاه جامع علمی- کاربردی زاهدان

\* عهده‌دار مکاتبات

### پنجه

منطقه‌ی بروجرد از نظر زمین‌شناسی بخش کوچکی از زون سنندج- سیرجان محسوب می‌شود. سنگ‌های دگرگونی در این منطقه به دو گروه ناحیه‌ای و مجاورتی تقسیم می‌شوند. سنگ‌های دگرگونی ناحیه‌ای که بخش وسیعی از منطقه را در بر می‌گیرند شامل اسلیت و فیلیت بوده و در محدوده‌ی رخساره‌ی شیست‌سبز (زون کلریت) قرار می‌گیرند. نفوذ توده‌ی گرانیتوئیدی بروجرد به صورت کشیده و طویل به موازات شیستوزیته غالب این سنگ‌ها با روند شمال‌غربی- جنوب‌شرقی، یک دگرگونی مجاورتی در حد رخساره‌ی پیروکسین‌هورنفلس را به وجود آورده است. سنگ‌های دگرگونی مجاورتی در بخش شمالی توده شامل توالی کاملی از دگرگونی درجه‌ی پائین تا بالا شامل شیست‌لکه‌دار، هورنفلس شیست، هورنفلس و میگماتیت می‌باشد و لی در بخش جنوبی به دلیل وجود سیستم‌های گسله و رانده شدن سنگ‌های گرانیتوئیدی بر روی سنگ‌های دگرگونی، این توالی به طور کامل دیده نمی‌شود. شواهد صحرایی و میکروسکوپی نشان می‌دهند که میگماتیت‌ها از نوع تزربقی بوده و در حقیقت در اثر تزریق مagma‌ی گرانیتوئیدی به درون سنگ‌های دگرگونی به وجود آمده‌اند. محاسبات دماسنجدی گارنت- بیوتیت بروی هورنفلس‌ها دمای به تعادل رسیدن این زوج کانی را با احتساب متوسط همه‌ی کالیبراسیون‌ها ۴۷۲ درجه‌ی سانتی‌گراد برآورد می‌کنند.

**واژه‌های کلیدی:** بروجرد، سنندج- سیرجان، دگرگونی، میگماتیت، هورنفلس

## A new view on the metamorphic rocks of the Boroujerd area

A. Ahmadi-Khalaji<sup>1\*</sup>, Z. Tahmasbi<sup>2</sup> & Sh. Keshtgar<sup>3</sup>

1) Department of Geology, Faculty of Science, University of Lorestan, Lorestan, I. R. Iran \*

2) Department of Mining, Faculty of Engineering, University of Lorestan, Lorestan, I. R. Iran

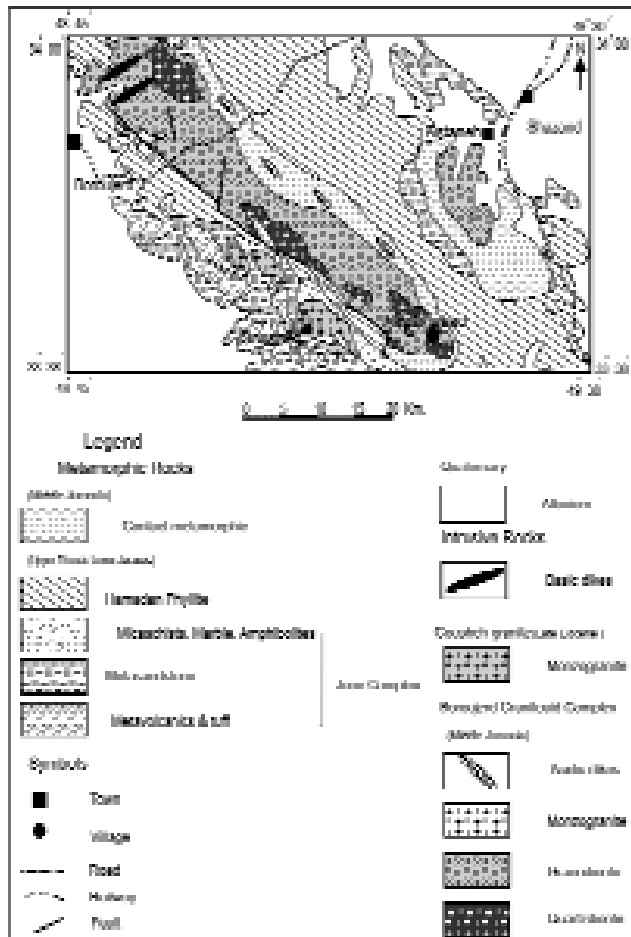
3) University of Applied Science and Technology, Sistan & Baluchestan Province, Zahedan, I. R. Iran.

### Abstract

The studied area is as a small portion of Sanandaj - Sirjan Zone (SSZ). Metamorphic rocks in this area subdivided to 2 groups on their setting: Regional and Contact. Slate and Phyllite are petrographic facieses of regional metamorphism. This metamorphism has affected a vast area and is of low grad in green schist (Chlorite Zone). The Boroujerd granitoid massif is elongated and parallels the prevail-

ing schistose in these rocks by the trend of NW-SE. By the injection of it, a contact metamorphism has occurred which can be considered as a pyroxene hornfels facies. Contact metamorphic rocks, consisting of spotted schists, hornfels-schist, hornfelses and migmatites, are evident only to the north of the pluton, because the southern margin of it is controlled by a fault system parallel to the contact and the granitoid rocks are thrusted onto the metamorphic rocks. Field and microscopy evidence show that migmatites are injective and occurred by intrusion of granitoid magma into metamorphic rocks. Calculation of garnet-biotite thermometer by all of the average calibrations, account 472° C for equilibrium this two minerals in hornfels.

**Key words:** Boroujerd, hornfels, migmatite, metamorphism, Sanandaj - Sirjan Zone.



تصویر ۱- نقشه‌ی ساده‌ی زمین‌شناسی منطقه‌ی مورد مطالعه

احمدی خلجمی<sup>۱</sup>(۱۳۸۵)، سبب متفاوت شدن رخساره‌های دگرگونی در دو طرف آن شده است.

## ۱- بحث

سنگ‌های دگرگونی موجود درمنطقه شامل سنگ‌های دگرگونی ناحیه‌ای درجه‌ی پائین و مجاورتی درجه‌ی پائین تا درجه‌ی بالا می‌باشد. مرز بین این دو دگرگونی با توجه به شواهد بافتی و تغییرات کانی‌شناسی مشخص گردید. سنگ‌های دگرگونی ناحیه‌ای شامل

منطقه‌ی مورد مطالعه بخشی از زون سنندج- سیرجان محسوب می‌شود که در استان‌های لرستان و مرکزی، در شرق و جنوب شرق شهرستان بروجرد بین طول‌های جغرافیایی  $48^{\circ} 45' \text{ تا } 49^{\circ} 30'$  و عرض‌های جغرافیایی  $33^{\circ} 34' \text{ تا } 34^{\circ} 0'$  شمالی با وسعت تقریبی ۶۰۰ کیلومتر مربع قرار دارد (تصویر ۱). با وجود تکتونیک شدیدی که پیچیدگی‌هایی در زمین‌شناسی منطقه به وجود آورده است، می‌توان ردیفی از سنگ‌ها را تشخیص داد به طوری که قدیمی‌ترین نهشته‌های موجود در این ناحیه متعلق به پالئوزوئیک و تریاس بوده که در جنوب شرقی بروجرد رخمنون دارند (رادفر ۱۳۶۶). بالاترین بخش از ردیف دگرگونی را سنگ‌های پلیتی دگرگون شده موسوم به فیلیت‌های همدان تشکیل می‌دهند و نهشته‌های آهکی دگرگون شده‌ای که بر روی این فیلیت‌ها قرار دارند حاوی آمونیت‌هایی با سن توارسین (واخر ژوراسیک زیرین) می‌باشند (واعظی‌پور و اقلیمی ۱۳۶۳). بنابراین سن نهشته شدن فیلیت‌ها تریاس بالایی- ژوراسیک زیرین در نظر گرفته می‌شود (رادفر ۱۳۶۶).

مهم‌ترین حادثه‌ی زمین‌شناسی در این ناحیه، پیدایش توده‌ی گرانیتوئیدی بروجرد با سن ژوراسیک میانی است Ahmadzi-Khalaji et al 2007 (احمدی خلجمی ۱۳۸۵) که به صورت کشیده و طویل به موازات شیستوزیته‌ی غالب سنگ‌های دگرگونی ناحیه‌ای با روند شمال غربی- جنوب شرقی نفوذ کرده و در طی آن دگرگونی مجاورتی به وقوع پیوسته است (تصویر ۱). گسل‌ها مهم‌ترین ساختارهای ماکروسکوپی منطقه‌ی مورد مطالعه را تشکیل می‌دهند. از جمله‌ی آن‌ها، گسل بزرگی به موازات حاشیه‌ی جنوبی توده‌ی گرانیتوئیدی بروجرد می‌باشد (تصویر ۱) که با راندن این توده بر روی سنگ‌های دگرگونی (Berthier et al. 1974, Masoudi 1997)،

مجاورتی درجه بالا (هورنفلس) هستند. بررسی‌های میکروسکوپی لکه‌هانشان می‌دهد که این سنگ‌ها تغییرات مهمی را متحمل شده‌اند و کانی‌های جدیدی در آن‌ها به وجود آمده یا در حال تشکیل است، به طوری که بیوتیت با چندرنگی واضح در این سنگ‌ها ظاهر می‌شود و سریست بر اثر تبلور مجدد به مسکوویت تبدیل شده است. این لکه‌ها اغلب از تجمع و تراکم کلریت، مسکوویت و بیوتیت تشکیل شده‌اند و یا در حال تبدیل به آندالوزیت و یا کردیریت می‌باشند. به علت وجود این لکه‌ها بافت آن‌ها پرفیروگرانوبلاستیک یا پرفیروپیدوپلاستیک است. مجموعه‌ی کانی‌شناسی این سنگ‌ها حاکی از حرارتی بین ۴۵۰-۴۲۵ درجه‌ی سانتی‌گراد است (Barker 1990) و حد دگرگونی زون بیوتیت را نشان می‌دهند.

با نزدیک شدن به توده، در این سنگ‌ها لکه‌های سیاه رنگی از کردیریت به ابعاد ۱-۲ میلیمتر و به رنگ سیاه متمایل به قهوه‌ای ظاهر می‌شوند. اما این سنگ‌ها در منطقه گسترش چندانی ندارند و بیشتر به صورت نوار باریکی در بخش جنوبی توده رخمنون دارند. کانی کردیریت که پرفیروپلاست این سنگ‌هارا تشکیل می‌دهد به صورت بیضوی شکل با ادخال‌هایی از کوارتز دیده می‌شود و اغلب به مجموعه‌ی قهوه‌ای رنگی از مواد دیگر نظیر اکسیدهای آهن تجزیه شده است. احتمالاً شیسته‌های لکه‌دار آندالوزیت دار گستردۀ ترین واحد شیستی در منطقه می‌باشند. این سنگ‌ها که به رنگ خاکستری تیره تا سیاه دیده می‌شوند حاوی بلورهایی از آندالوزیت با ابعاد ۳-۱۰ سانتیمتر می‌باشند و دارای بافت پرفیروپلاستی و پوئی کیلوبلاستی هستند. کانی آندالوزیت اغلب به سریست تبدیل شده است (تصویر ۲-b) و در بعضی از نمونه‌ها حاوی ادخال‌های فراوان از گرافیت (کیاستولیت) می‌باشد.

از نکات قابل توجه در مورد کانی‌های موجود در شیسته‌ها می‌توان به وجود موضعی کانی گارنت اشاره کرد (تصویر ۲-c) که گاه حاوی ادخال‌هایی از کوارتز و بیوتیت می‌باشد. شیسته‌های گارنت دار در مقایسه با سایر شیسته‌ها از گسترش کمی در منطقه برخوردار هستند. کانی گارنت در بعضی از هورنفلس شیسته‌ها و

هورنفلس‌ها نیز به ندرت دیده می‌شود. کمبود کانی گارنت در سنگ‌های منطقه می‌تواند به دلیل فقیر بودن سنگ اولیه‌ی این سنگ‌ها از منیزیم و یا پائین بودن فشار لازم برای تشکیل آن باشد.

(Yardley 1989)

اسلیت‌ها و فیلیت‌ها هستند که تغییرات بافتی محسوسی را نشان نمی‌دهند، ولی به طرف توده‌ی نفوذی تغییرات بافتی نمایان می‌شود و بیوتیت ظاهر می‌شود. پیدایش بیوتیت به عنوان آغاز دگرگونی مجاورتی در نظر گرفته می‌شود. اسلیت‌ها و فیلیت‌ها به صورت تپه‌ی ماهوری بارنگ‌های سیاه تامایل به سبز دیده می‌شوند و به طور کلی تمام سنگ‌های دگرگونی درجه‌ی بالاتر به آن‌ها ختم می‌شوند. در بررسی‌های میکروسکوپی، این سنگ‌ها دارای بافت پیدوپلاستیک و پیدوگرانوبلاستیک هستند و حاوی کانی‌های کوارتز، کلریت، میکای سفید، فلدسپار (با منشاء تخریبی)، تورمالین (با منشاء گرمابی)، مواد آلی و کانی‌های اکسیدی می‌باشند (تصویر ۲-a). این سنگ‌ها دانه‌ریز و تا حدودی لمس چرب دارند و در واقع تنابوی از لایه‌های نازک شیل و سیلیت‌سنگ بوده‌اند که دگرگون شده‌اند. با توجه به پاراژنز کانی‌ها، این سنگ‌ها در حد رخساره‌ی شیست سبز (زون کلریت) بوده و در دمای ۴۰۰-۳۰۰ درجه‌ی سانتی‌گراد دگرگون شده‌اند. (Hyndman 1985)

دگرگونی مجاورتی با شیسته‌های لکه‌دار شروع می‌شود و به هورنفلس‌ها و میگماتیت‌ها ختم می‌شود. در این منطقه، مجموعه‌ی دگرگونی ناحیه‌ای با طیفی از شرایط رخساره‌ی شیست سبز دیده می‌شود که در طی نفوذ توده‌ی گرانیتوئیدی در امتداد سطح شیستوزیته آن‌ها، یک مجموعه‌ی دگرگونی مجاورتی دمای بالا-فشار پائین حاصل شده است. در بخش جنوبی توده (تصویر ۱)، دگرگونی مجاورتی به دلیل گسله بودن (احمدی خلجمی ۱۳۸۵)، ناقص یا دیده نمی‌شود و نوار باریکی از شیسته‌های کردیریت دار یا کردیریت هورنفلس که به اسلیت و فیلیت ختم می‌شوند، وجود دارد. در بخش شمالی توده، میگماتیت‌های تزریقی و هورنفلس‌ها دیده می‌شوند (Berthier et al. 1974, Masoudi 1997) در این مقاله ویژگی‌های صحرایی، پتروگرافی و پترولوزی سنگ‌های دگرگونی مجاورتی و در نهایت شیمی کانی‌های مختلف سنگ‌ها بررسی می‌شود.

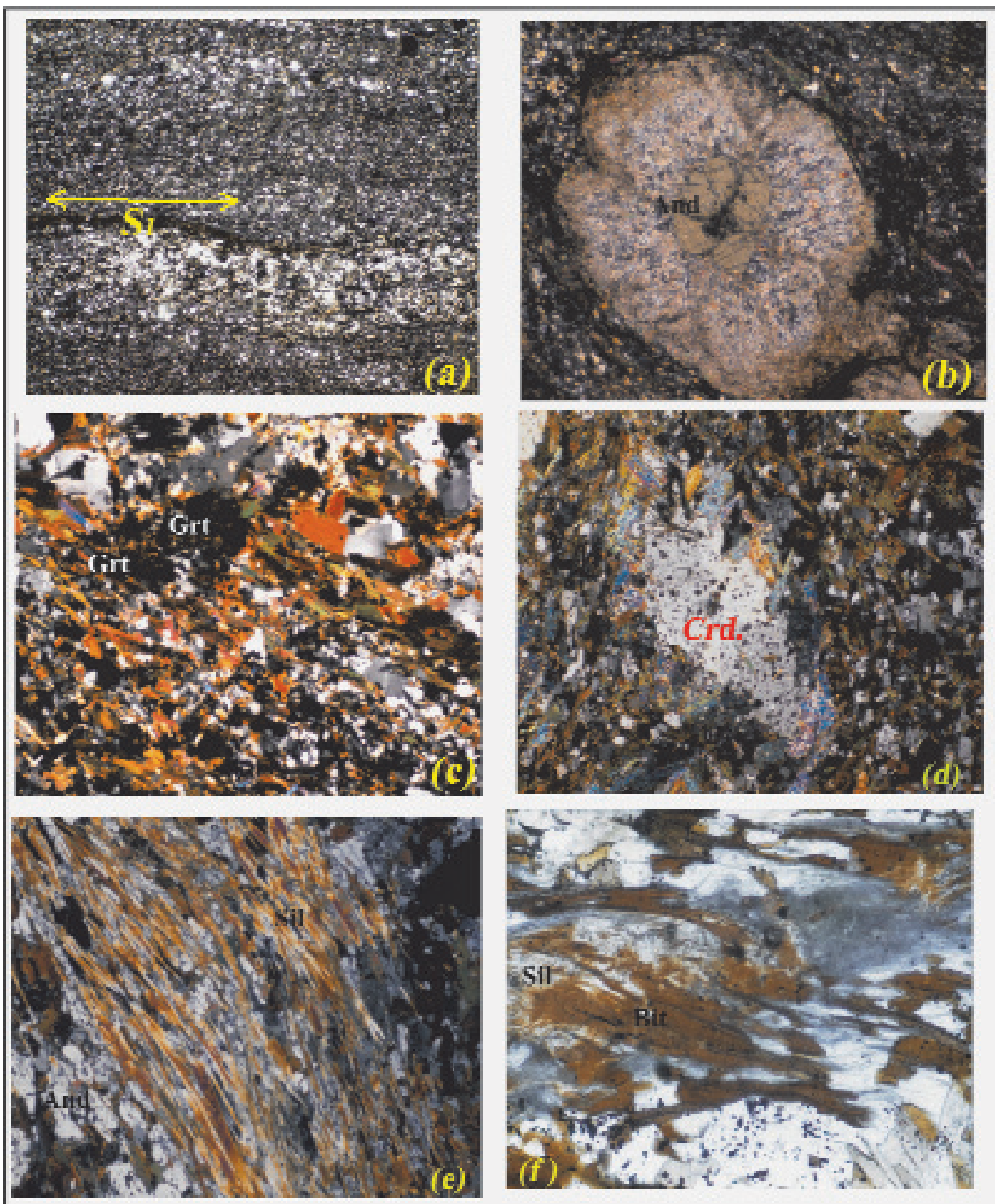
## ۱- شیسته‌های لکه‌دار

این سنگ‌ها که خارجی ترین بخش از هاله‌ی دگرگونی را تشکیل می‌دهند به رنگ خاکستری دیده می‌شوند و خاصیت تورق خود را حفظ نموده‌اند و در حقیقت حد بین سنگ‌های دگرگونی ناحیه‌ای و

هورنفلس شیست‌ها هنوز شیستوژیت خود را حفظ کرده‌اند ولی سخت‌تر شده و تا حدودی حالت هورنفلسی پیدا کرده‌اند. در این سنگ‌ها بلورهای آندالوزیت به خوبی دیده می‌شوند و فابریک پرفیروگرانوپلاستیک به سنگ می‌دهند. در بعضی از نمونه‌ها نیز که به سمت توده نزدیک تر هستند آندالوزیت‌ها از بخش حاشیه‌ای به سیلیمانیت فیری (فیرولیت) تبدیل شده‌اند.

#### ۴-۲-هورنفلس شیست‌ها

واژه‌ی هورنفلس شیست شامل سنگ‌هایی است که در حدّ فاصل شیست‌های لکه‌دار و هورنفلس‌ها قرار دارند. تفاوت اصلی این سنگ‌ها با شیست‌های لکه‌دار، پیشرفت تبلور در کانی‌های دگرگونی مجاورتی و در نتیجه محو شدن تدریجی فولیاسیون است، اما هنوز بقایای فولیاسیون بخصوص در نمونه‌ی دستی دیده می‌شود. با اینکه



تصویر ۲- تصاویر میکروسکوپی از سنگ‌های دگرگونی: a- سنگ‌های دگرگونی ناجیه‌ای، b- شیست‌هایی با لکه‌هایی از آندالوزیت، c- شیست‌هایی با لکه‌هایی از گارنت، d- کردیریت با ماکل ساعت شنی، e- تبدیل آندالوزیت به سیلیمانیت منشوری، f- تبدیل بیوتیت به سیلیمانیت فیری (فیرولیت)

## ۱۴-۳-هورنفلس‌ها

وجود سیلیمانیت به صورت بلورهای سوزنی درون آندالوزیت بیانگر گذر از زون آندالوزیت به سیلیمانیت است. از طرف دیگر همراهی بیوتیت با آندالوزیت سبب تسریع در واکنش‌های تشکیل سیلیمانیت می‌گردد، زیرا این کانی به صورت یک تسریع کننده (کاتالیزور) عمل می‌کند. (Foster 1991) بیوتیت، پاتاسیم فلذسپار، فیبرولیت و گارنت نیز در زمینه سنگ دیده می‌شوند و تورمالین به عنوان کانی فرعی قابل مشاهده است.

## ۱۴-۴-میگماتیت‌ها

این سنگ عمدتاً در بخش شمالی توده و داخلی ترین بخش‌های دگرگونی قرار دارد که در مرز بلافصل با توده دیده می‌شوند و پس از سیلیمانیت هورنفلس‌ها به سمت توده ظاهر می‌شوند. در این سنگ‌ها آثاری از ذوب بخشی دیده می‌شود و ساخت‌های میگماتیتی (تصویر ۳) به وضوح مشاهده می‌شوند. این ساخت‌ها شامل چین‌های جریانی (پتیگماتیکی) هستند که جهت خاصی را نشان نمی‌دهند، یا به عبارت دیگر حاصل تتش نیستند، بلکه ناشی از به حالت خمیر درآمدن این سنگ‌ها در اثر حرارت زیاد می‌باشد. در این ساخت‌ها بخش‌های روشن به صورت رگه‌های نامنظم در حد چند سانتی‌متر توسعه یافته‌اند. در واقع بخش لوکوس‌م این سنگ‌ها هستند و به طور واضح ترکیب گرانیتی دارند و از کوارتز، پلاژیوکلاز، آلکالی فلذسپار، بیوتیت، مسکوویت و اپاک تشکیل شده‌اند و دارای بافت گرانولار و میرمکیتی می‌باشند. در بخش تیره، بیوتیت فراوان‌ترین کانی می‌باشد، که گاه فیبرولیت به خرج آن‌ها به وجود آمده است. کانی‌های تشکیل دهنده‌ی بخش تیره کوارتز، پلاژیوکلاز، آلکالی فلذسپار، بیوتیت، مسکوویت و اپاک می‌باشند. با توجه به شواهد صحراوی و میکروسکوپی، این سنگ‌ها در حقیقت در اثر تزریق مagma‌های گرانیتوئیدی به درون سنگ‌های دگرگونی به وجود آمده‌اند. به عبارت دیگر از نوع میگماتیت‌های تزریقی می‌باشند، به طوری که رگه‌های روشن گرانیتی در این سنگ‌ها به صورت نامنظم دیده می‌شوند. توده‌ی گرانیتوئیدی مهم ترین عامل تأمین حرارت و آب لازم برای شروع ذوب بخشی بوده و این سنگ‌ها در ارتباط با دگرگونی مجاورتی می‌باشند.

وجود کردیریت با ماکل ساعت شنی و تبدیل آندالوزیت به سیلیمانیت مشهوری در سنگ‌های منطقه (تصویر ۴-۵) حاکی از

با پیشرفت تأثیر دگرگونی مجاورتی، سنگ‌ها فابریک گرانولوپلاستیک به خود می‌گیرند و فولیاسیون در آن‌ها حذف می‌شود و سخت و متراکم می‌گردد. این سنگ‌ها نسبت به شیست‌های لکه دار گسترش کمتری دارند و اغلب در نواحی شمال، شمال شرق و شرق منطقه رخنمون دارند و در بخش‌های جنوبی به ندرت دیده می‌شوند. ترکیب این سنگ‌ها در جاهای مختلف متفاوت است، به طوری که در بعضی قسمت‌های بخش شمالی حاوی سیلیمانیت منشوری هستند، در بخش‌های جنوبی بیشتر حاوی کردیریت و آندالوزیت می‌باشند، که می‌تواند ناشی از متفاوت بودن ترکیب سنگ اویله و شرایط لازم برای تشکیل این کانی‌ها باشد.

به طور کلی هورنفلس‌های موجود در منطقه دارای سه کانی شاخص دگرگونی یعنی کردیریت، آندالوزیت و سیلیمانیت می‌باشند و به طور موضعی و خیلی جزئی گارنت نیز دیده می‌شود. در این سنگ‌ها کردیریت با ماکل ساعت شنی (تصویر ۴-۶) دیده می‌شود و فابریک پرفیروگرانولوپلاستیک به سنگ می‌دهد و با نزدیک شدن به توده، آندالوزیت نیز ظاهر می‌شود. حضور آندالوزیت و کردیریت با هم در این سنگ‌ها می‌تواند به دلیل پائین بودن درجه‌ی اکسیداسیون ناشی از فراوانی مواد آلی کربنی باشد. (Turner 1968) حضور این مواد موجب تنزل مرزهای واکنشی در سنگ به درجات پائین تر می‌گردد (Bucher & Frey 1994) و همین امر سبب عدم حضور مجموعه‌ی پارازنزی استارولیت- آندالوزیت در این منطقه نیز شده است. بلورهای آندالوزیت شکل اسفنجی و ساختمان اسکلتی دارند و به صورت پوئی کیلوپلاستیک دیده می‌شوند، به طوری که مانند شبکه‌ای، بلورهای کوچک بی‌شماری از مسکوویت، بیوتیت، کوارتز و کردیریت را فرامی‌گیرند که حاکی از رشد سریع این کانی می‌باشد. به سبب پیشرفت دگرگونی، سیلیمانیت در حاشیه‌ی آندالوزیت ظاهر می‌شود و کم کم با نزدیک شدن به توده، پلی‌مورفیسم آندالوزیت به سیلیمانیت افزایش می‌یابد و گاه آندالوزیت به‌طور کامل به سیلیمانیت تبدیل می‌شود. (تصویر ۴-۷) شواهد پتروگرافی نشان می‌دهد که در این سنگ‌ها سیلیمانیت به صورت منشوری و فیبرولیتی دیده می‌شود و به نظر می‌رسد که فیبرولیت‌ها به طور مستقیم از بیوتیت‌ها به وجود آمده‌اند. (تصویر ۴-۸) سیلیمانیت منشوری ممکن است از فیبرولیت‌های قبلی نیز حاصل شده باشد.

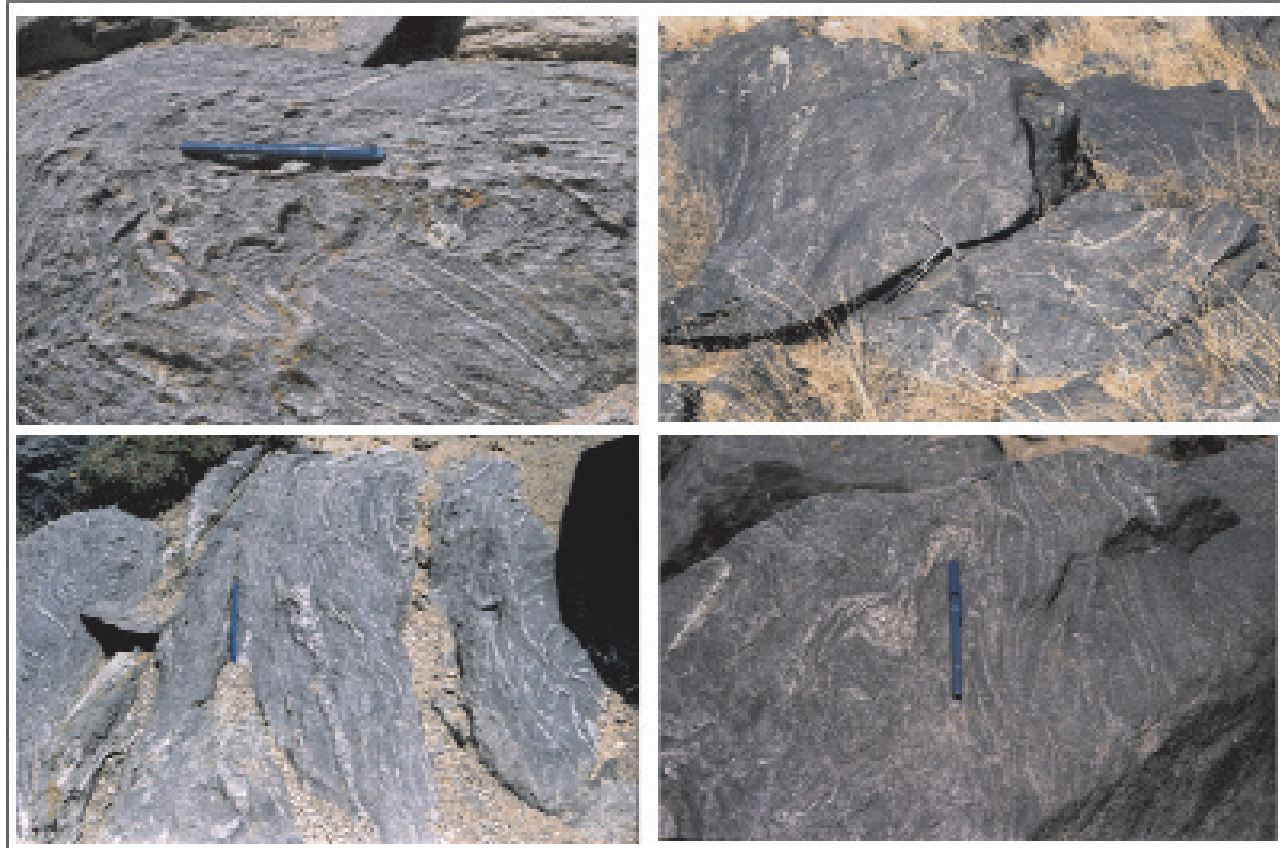
## ۱-۵-شیمی کانی‌ها

جهت بررسی رفتار ژئوشیمیایی عناصر در ساختمان کانی‌های مختلف و مطالعه‌ی کانی‌شناسی سنگ‌های منطقه‌ی مورد مطالعه، نمونه‌هایی از سنگ‌های آذرین و دگرگونی انتخاب و از آن‌ها مقطع نازک صیقلی تهیه شد. نقاطی از کانی‌های مختلف مورد آنالیز‌های کمی کانی‌ای میکروپریوب الکترونی مدل CAMECA SX-100 در آزمایشگاه الکترون میکروپریوب انسٹیتو مینرالوژی و پترولولوژی دانشگاه هامبورگ کشور آلمان قرار گرفت که نتایج آنها در این مقاله ارائه می‌شود.

جهت بررسی ترکیب شیمیایی و فرآیندهای فیزیکی و شیمیایی حاکم بر محیط تشکیل پلاژیوکلاز در هورنفلس‌ها این کانی مورد تجزیه‌ی الکترون میکروپریوب قرار گرفت (جدول ۱). نتایج حاصل از این تجزیه‌ها نشان می‌دهند که ترکیب پلاژیوکلاز موجود در هورنفلس‌ها از  $An=33$  تا  $An=37$  تغییر می‌کند و در رده‌ی الیگوکلاز-آنزین قرار می‌گیرند.

بررسی وضعیت شیمیایی مسکوویت‌های مورد تجزیه قرار

یک دگرگونی پیشونده‌ی دما بالا می‌باشد. (Deer et al. 1991) بر اساس روابط پاراژنتیکی طیف دمایی ۶۰۰-۶۵۰ درجه‌ی سانتیگراد برای آن‌ها برآورده شود. (Winkler 1976) از طرف دیگر حضور آندالوزیت و نبود کیانیت در این سنگ‌ها حاکی از دگرگونی در فشارهای کمتر از چهار کیلوبار می‌باشد. (Winkler 1976) به این ترتیب دگرگونی مجاورتی در منطقه‌ی مورد مطالعه حدأکثر تا حد رخساره‌ی پیروکسن هورنفلس پیش رفته است. مجموعه‌ی کانی‌شناسی هاله‌ی دگرگونی، ویژگی‌های سری رخساره‌ی تیپ یک (I) و زیر رخساره‌ی (Pattison & Tracy 1991) C را نشان می‌دهند. در این سری کردیریت و آندالوزیت در درجات پائین و متوسط توسعه یافته‌اند و مجموعه‌ی آندالوزیت-پتاسیم فلدرسپار یا آندالوزیت-سیلیمانیت-پتاسیم فلدرسپار در درجات بالا با همدیگر همزیست هستند و مجموعه‌ی گارنت-سیلیمانیت-کردیریت-پتاسیم فلدرسپار فقط در بعضی از قسمت‌های هاله دیده می‌شوند. هورنفلس‌ها در درجات متوسط دارای مجموعه‌ی مسکوویت-کردیریت-آنالوزیت-بیوتیت-کوارتز می‌باشند.



تصویر ۳- تصاویری از نمای کلی میگماتیت‌های موجود در منطقه که ساخت‌های میگماتیتی از جمله چین‌های جریانی (پتیگماتیکی) که در اثر وجود مذاب تشکیل شده‌اند به خوبی دیده می‌شوند.

جدول-۲- آنالیز‌های میکروپریوب برای مسکوویت از یک نمونه گرانودیوریت و یک نمونه هورنفلس، موسکوویت بر اساس ۱۱ اکسیژن محاسبه شده است.

H	H	H	Gd	Gd	نمونه‌ی سنگ
Mus	Mus	Mus	Mus	Mus	کانی
#۱۲	#۷	#۶	#۵	#۴	Pint Namber
۶۰/۲۸	۵۳/۶۸	۴۷/۴۲	۴۵/۷۷	۴۶/۰۴	Sio <sub>2</sub>
۲۷/۳۵	۳۱/۸۵	۳۵/۶۱	۳۴	۳۴/۴۸	Ai <sub>2</sub> O <sub>3</sub>
۰/۳۶	۰/۴	۰/۴۳	۰/۹۹	۰/۹۶	Mgo
۰/۷	۰/۹۶	۰/۹۲	۱/۹۷	۱/۹۴	Feo
۰/۱۹	۰/۲۵	۰/۲۴	۱/۰۹	۰/۰۷	Tio <sub>2</sub>
۰	۰	۰/۰۱	۰/۰۱	۰/۰۳	Mno
۰/۰۳	۰/۰۲	۰/۰۱	۰	۰/۰۸	Cao
۰/۸۷	۱/۰۳	۱/۲۶	۰/۳۵	۰/۳۸	Na <sub>2</sub> O
۶/۰۶	۷/۶۲	۸/۴۲	۹/۲۵	۹/۱۸	K <sub>2</sub> O
۰/۰۱	۰/۰۵	۰	۰/۱	۰/۱	Cr <sub>2</sub> O <sub>3</sub>
۰/۰۴	۰	۰/۰۴	۰/۰۲	۰	Nio
۹۶/۴۱	۹۵/۱۷	۹۶/۳۷	۹۳/۸۳	۹۳/۷۵	Total
۱-Mus-۳	۲-Mus-۲	۱-Mus-۲			
Formulae calculated on the basis of 11 Oxygen atoms					
۳/۷۸	۳/۴۵	۳/۱۴	۳/۰۹	۳/۱	Si
۰/۲۲	۰/۰۵	۰/۸۶	۰/۹۱	۰/۹	AlIV
۴	۴	۴	۴	۴	$\Sigma$
۱/۸	۱/۸۵	۱/۹۲	۱/۷۹	۱/۸۴	AlVI
۰/۰۳	۰/۰۴	۰/۰۴	۰/۱	۰/۱	Mg
۰/۰۴	۰/۰۵	۰/۰۵	۰/۱۱	۰/۱۱	Fe
۰/۰۱	۰/۰۱	۰/۰۱	۰/۰۶	۰/۰۳	Ti
۰/۰۱	۰/۰۱	۰/۰۱	۰/۰۱	۰/۰۱	Mn
۰	۰	۰	۰	۰/۰۱	Ca
۰	۰	۰	۰/۰۱	۰/۰۱	Cr
۱/۹	۱/۹۷	۲/۰۴	۲/۰۸	۲/۰۹	$\Sigma$
۰/۱۱	۰/۱۳	۰/۱۶	۰/۰۵	۰/۰۵	Na
۰/۰۲	۰/۶۲	۰/۷۱	۰/۸۲	۰/۷۹	k
۶/۰۳	۶/۷۳	۶/۹۱	۶/۹۴	۶/۹۳	Xab

موجود در گرانودیوریت‌ها در مقایسه با این کانی در هورنفلس‌ها دارای اکسید منیزیم، دی اکسید تیتانیم، اکسید پاتاسیم و اکسید آهن (K<sub>2</sub>O,TiO<sub>2</sub>,MgO,FeO<sup>(\*)</sup>) بیشتر و اکسید سدیم و سیلیسیس (Na<sub>2</sub>O,SiO<sub>2</sub>) کمتری هستند.

جدول-۱- آنالیز‌های میکروپریوب برای پلاژیوکلاز از یک نمونه هورنفلس، پلاژیوکلاز بر اساس هشت اکسیژن محاسبه شده است.

H	H	H	H	H	H	H	نمونه‌ی سنگ
# PIg	# PIg	# PIg	# PIg	# PIg	# PIg	# PIg	کانی
۱۱	۱۰	۹	۸	۴	۳	۱	ti
۵۹/۶۲	۵۹/۷۳	۵۹/۲۲	۵۹/۷۵	۵۸/۹۶	۵۸/۲۱	۵۸/۲۱	Sio <sub>2</sub>
۲۵/۶۱	۲۵/۸۹	۲۶/۳۸	۲۵/۸۳	۲۵/۹۱	۲۶/۳۹	۲۶/۳۹	Ai <sub>2</sub> O <sub>3</sub>
۰	۰	۰	۰	۰	۰	۰	Mgo
۰/۰۶	۰/۰۴	۰/۱۳	۰	۰/۱۳	۰	۰	Feo
۰	۰/۰۲	۰/۰۱	۰/۰۴	۰/۰۱	۰	۰	Tio <sub>2</sub>
۰/۰۱	۰/۰۱	۰	۰/۰۱	۰/۰۱	۰/۰۲	۰/۰۲	Mno
۶/۸	۶/۹۳	۷/۳۱	۶/۸۸	۷/۲۲	۷/۷۲	۷/۷۲	Cao
۷/۷۱	۷/۶۷	۷/۴۹	۷/۶۶	۷/۴۱	۷/۲۵	۷/۲۵	Na <sub>2</sub> O
۰/۰۶	۰/۰۳	۰/۰۵	۰/۰۲	۰/۰۵	۰/۰۵	۰/۰۵	K <sub>2</sub> O
۰/۰۳	۰	۰/۰۲	۰/۰۱	۰	۰	۰	Cr <sub>2</sub> O <sub>3</sub>
۰/۰۵	۰	۰	۰	۰/۰۴	۰	۰	Nio
۹۹/۹۶	۱۰۰/۳۳	۱۰۰/۶	۱۰۰/۱۹	۹۹/۷۵	۹۹/۶۳	۹۹/۶۳	Total
۴-Pig-۳	۳-Pig-۳	۲-Pig-۳	۱-Pig-۳				
Formulae calculated on the basis of 8 Oxygen atoms							
۲/۶۶	۲/۶۵	۲/۶۳	۲/۶۶	۲/۶۴	۲/۶۱	۲/۶۱	Si
۱/۳۳	۱/۳۵	۱/۳۸	۱/۳۵	۱/۳۷	۱/۳۹	۱/۳۹	Ai
۰	۰	۰	۰	۰	۰	۰	Mg
۰	۰	۰	۰	۰	۰	۰	Fe
۰	۰	۰	۰	۰	۰	۰	Ti
۰	۰	۰	۰	۰	۰	۰	Mn
۰/۳۲	۰/۳۳	۰/۳۵	۰/۳۳	۰/۳۵	۰/۳۷	۰/۳۷	Ca
۰/۶۷	۰/۶۶	۰/۶۴	۰/۶۶	۰/۶۴	۰/۶۳	۰/۶۳	Na
۰	۰	۰	۰	۰	۰	۰	k
۰	۰	۰	۰	۰	۰	۰	Cr
۵	۵	۵/۰۱	۵	۵	۵/۰۱	۵/۰۱	Tot
۰/۶۷	۰/۶۷	۰/۶۵	۰/۶۷	۰/۶۵	۰/۶۳	۰/۶۳	Xab
۰/۳۳	۰/۳۳	۰/۳۵	۰/۳۳	۰/۳۵	۰/۳۷	۰/۳۷	Xan
۰	۰	۰	۰	۰	۰	۰	Xor
۱	۱	۱	۱	۱	۱	۱	Total

گرفته در گرانودیوریت‌ها و هورنفلس‌های موجود در بالا فصل آن‌ها (جدول ۲) نشان می‌دهند که ترکیب این کانی در این دو واحد سنگی مختلف کاملاً متفاوت است، به طوری که مسکوویت

و نبود آن در جاهايي غير از حضور بيوتیت نیز نشان می‌دهد که مسکوویت بر اثر دگرسانی حاصل شده و منشاء ثانوی دارد.

نتایج حاصل از تجزیه‌ی گارنت در شیست‌ها، هورنفلس‌ها و گرانودیوریت‌های بخش حاشیه‌ی توده‌ی بروجرد (جداول ۳ و ۴) نشان می‌دهد که ترکیب آن در شیست‌ها از  $\text{Alm} = 63$ ،  $\text{Alm} = 29$  = اسپسارتین (Sp)،  $\text{Py} = 5$  = پیروپ (Py)،  $\text{Gro} = 46$ ،  $\text{Alm} = 46$  (Gro) تا  $\text{Alm} = 67$ ،  $\text{Sp} = 7$ ،  $\text{Gro} = 4$ ،  $\text{Py} = 31$  تغییر می‌کند و در رده‌ی آلماندن-اسپسارتین قرار می‌گيرد. اين کانی در هورنفلس‌ها که از حاشیه‌ی یك بلور مورد تجزیه قرار گرفته است دارای ترکیب  $\text{Alm} = 46$ ،  $\text{Sp} = 72$ ،  $\text{Py} = 6$ ،  $\text{Gro} = 4$ ،  $\text{Py} = 6$ ،  $\text{Sp} = 8$ ،  $\text{Alm} = 28$  Gro تا  $\text{Alm} = 67$ ،  $\text{Sp} = 7$ ،  $\text{Gro} = 4$ ،  $\text{Py} = 31$  باشد که در رده‌ی آلماندن-اسپسارتین قرار می‌گيرد و منطقه‌ی بندی نیز نشان می‌دهد. بيشترین تغييرات از حاشیه‌ی به مرکز مربوط به جزء آلماندن و اسپسارتین است، به طوری که از بخش حاشیه‌ی به مرکز مقدار آلماندین و پیروپ زیاد ولی اسپسارتین کم می‌شود. گارنت موجود در گرانودیوریت‌های بخش حاشیه‌ی توده که از حاشیه‌ی به حاشیه‌ی یك بلور تجزیه شده است دارای ترکیبی از  $\text{Alm} = 66$ ،  $\text{Sp} = 52$ ،  $\text{Py} = 5$ ،  $\text{Gro} = 4$ ،  $\text{Py} = 31$ ،  $\text{Sp} = 7$ ،  $\text{Alm} = 67$  Gro تا  $\text{Alm} = 67$ ،  $\text{Sp} = 7$ ،  $\text{Gro} = 4$ ،  $\text{Py} = 31$  می‌باشد و تقریباً در رده‌ی آلماندن-اسپسارتین قرار می‌گيرد و منطقه‌ی بندی نیز نشان می‌دهد که شبیه به منطقه‌ی بندی موجود در گارنت‌های هورنفلس‌ها می‌باشد، به طوری که از بخش حاشیه‌ی به مرکز مقدار آلماندین و پیروپ زیاد ولی اسپسارتین کم می‌شود. تصور می‌شود که تشابه تغييرات ترکیب گارنت در هورنفلس‌های بلافصل گرانودیوریت‌ها و گارنت موجود در بخش‌های حاشیه‌ای اين سنگ‌ها حکایت

مسکوویت موجود در گرانودیوریت‌ها در مقایسه با بیوتیت‌ها، تشابه بيشتری نشان می‌دهند (احمدی خلیجی ۱۳۸۵) که بيانگر اين نکته است که مسکوویت‌ها به خرج بیوتیت به وجود آمده‌اند. وجود اين کانی به صورت جوانه و پراکنده در حاشیه‌ی بیوتیت‌ها هستند که در طی هضم سنگ‌های دربرگيرنده به دليل ديرگداز

Hornfe ls	Sch	Sch	Sch	نمونه‌ی سنگ				
Grt	Grt	Grt	Grt	Grt	Grt	Grt	Grt	کانی
#۱۴	#۳۱	#۵	#۲	#۱	#۳	#۲	#۱	PintNumber
۳۵/۸۵	۳۶/۱۱	۳۶/۰۱	۳۶/۲۷	۳۷/۲۳	۳۶۴۶	۳۶/۲۳	۳۵/۸۷	$\text{SiO}_2$
۲۱/۱۵	۲۱/۲۵	۲۱/۱۵	۲۱/۰۵	۲۱/۸۵	۲۱/۲۴	۲۱/۰۱	۲۰/۷۴	$\text{Al}_2\text{O}_3$
۱/۶۵	۱/۶۴	۱/۶۱	۷	۱/۴۱	۰/۹۶	۱/۲۲	۰/۸	Mgo
۳۴/۱۸	۳۶/۲۴	۳۶/۹۲	۳۳/۸۹	۲۸/۴۵	۲۸/۰۶	۲۸/۱۳	۲۸/۳۸	Feo
۰/۰۳	۰/۰۳	۰/۰۹	۰/۰۴	۰/۰۹	۰/۰۶	۰	۰/۰۲	$\text{TiO}_2$
۶/۲۲	۴/۵۶	۳/۷۸	۶/۳۳	۱۱/۹۴	۱۲/۳۶	۱۲/۷۶	۱۲/۷۷	Mno
۱/۱	۱/۱	۱/۱۵	۱/۱۱	۰/۹۳	۱/۲۷	۱/۱۴	۱/۲۵	Cao
۰	۰	۰	۰/۱	۰	۰/۰۴	۰/۰۲	۰/۰۳	$\text{Na}_2\text{O}$
۰	۰	۰/۰۱	۰	۰	۰	۰	۰	$\text{K}_2\text{O}$
۰/۰۳	۰/۰۲	۰/۰۳	۰/۰۳	۰	۰/۰۲	۰/۰۳	۰/۰۳	$\text{Cr}_2\text{O}_3$
۰/۰۲	۰/۰۳	۰/۰۵	۰	۰/۰۱	۰/۰۱	۰	۰/۰۴	Nio
۱۰۰/۲۵	۱۰۰/۹۹	۱۰۰/۸	۱۰۰/۴۳	۱۰۱/۹۲	۱۰۰/۴۸	۱۰۰/۵۵	۹۹/۹۳	Total
۲/۹۳	۲/۹۳	۲/۹۳	۲/۹۶	۲/۹۷	۲/۹۷	۲/۹۶	۲/۹۶	Si
۲/۰۴	۲/۰۴	۲/۰۳	۲/۰۲	۲/۰۶	۲/۰۴	۲/۰۲	۲/۰۱	Ai
۰/۲	۰/۲	۰/۱۹	۰/۲۱	۰/۱۷	۰/۱۳	۰/۱۵	۰/۱	Mg
۲/۳۴	۲/۱۴۶	۲/۰۲	۲/۳۱	۱/۹	۱/۹۱	۱/۹۲	۱/۹۶	Fe
۰	۰	۰/۰۱	۰	۰/۰۱	۰	۰	۰	Ti
۰/۴۳	۰/۳۱	۰/۲۶	۰/۴۴	۰/۸۱	۰/۸۵	۰/۸۸	۰/۸۹	Mn
۰/۱	۰/۱	۰/۱	۰/۱	۰/۰۸	۰/۱۱	۰/۱	۰/۱۱	Ca
۰	۰	۰	۰	۰	۰/۰۱	۰	۰	Na
۰	۰	۰	۰	۰	۰	۰	۰	k
۰	۰	۰	۰	۰	۰	۰	۰	Cr
۸/۰۴	۸/۰۵	۰	۸/۰۳	۷/۹۹	۸/۰۱	۸/۰۳	۸/۰۴	Total
۴۰/۱۱	۳۹/۴۷۰	۳۹/۱۹	۴۰/۵۵	۴۲/۷۷	۳/۸۹	۴/۸۷	۳/۲۳	Py
۲۷/۱۸۹	۲۷/۲۳	۲۷/۱۳	۲۷/۷۳	۲۹/۶۵	۶۳/۹۱	۶۲/۹۳	۶۴	Alm
۰/۰۲	۰/۰۳	۰/۰۷	۰/۰۴	۰/۰۸	۳/۷۱	۳/۲۷	۳/۶۱	Gro
۳۱/۹۷	۳۳/۱۳	۳۳/۶۱	۳۱/۶۸	۲۷/۴	۲۸/۵	۲۸/۹۲	۲۹/۱۶	Sp
۱۰۰	۱۰۰	۱۰۰	۱۰۰	۱۰۰	۱۰۰	۱۰۰	۱۰۰	$\Sigma$

جدول ۵- آنالیزهای میکروپروب برای بیوتیت از یک نمونه هورنفلس، بیوتیت بر اساس ۱۱ اکسیژن محاسبه شده است.

Hornfels	Hornfels	Hornfels	Hornfels	Hornfels	نمونه‌ی سنگ
Bit	Bit	Bit	Bit	Bit	کانی
#۱۴	#۱۳	#۵	#۲	#۱	PintNamb
۳۴/۹۴	۵۲/۱۳	۳۴/۹	۳۳/۵۳	۳۴/۷۹	Sio <sub>2</sub>
۲۰/۳۵	۱۹/۸۱	۲۳	۱۹/۳۵	۱۹/۹۲	Ai <sub>2</sub> O <sub>3</sub>
۸/۲۵	۸/۲۵	۷/۰۵	۸/۶	۸/۶۶	Mgo
۲۰/۶۷	۲۰/۸۴	۱۸/۶۲	۲۱/۴۶	۲۱/۰۹	Feo
۱/۳۷	۱/۶۴	۱/۴۵	۱/۸۹	۱/۸۳	Tio <sub>2</sub>
۰/۲۹	۰/۲۴	۰/۳۲	۰/۲۶	۰/۳	Mno
۰/۱۳	۰/۰۳	۰/۰۴	۰/۱۳	۰/۰۲	Cao
۰/۲۹	۰/۳	۰/۳	۰/۲۷	۰/۲۵	Na <sub>2</sub> O
۷/۷۹	۸/۰۷	۷/۰۴	۷/۴۳	۸/۰۸	K <sub>2</sub> O
۰/۰۹	۰/۰۶	۰/۰۶	۰/۰۷	۰/۰۶	Cr <sub>2</sub> O <sub>3</sub>
۰/۰۱	۰/۰۵	+	۰/۱	۰/۰۷	Nio
۹۴/۴۶	۹۴/۴۵	۹۳/۲۹	۹۳/۰۹	۹۵/۰۷	Total
۳-bit-۲	۳-bit-۱	۲-bit-۱			
۶۸/۱۲	۲/۷	۲/۶۵	۲/۶۳	۲/۶۶	Si
۱/۳۲	۱/۳	۱/۳۵	۱/۳۷	۱/۳۴	AlIV
۴	۴	۴	۴	۴	$\Sigma$
۰/۵۱	۰/۴۹	۰/۷۲	۰/۴۲	۰/۴۶	AIVI
۰/۹۷	۰/۹۵	۰/۸۶	۰/۱۱	۰/۹۹	Mg
۱/۳۲	۱/۳۴	۱/۱۸	۱/۴۱	۱/۳۵	Fe
۰/۰۸	۰/۰۹	۰/۰۸	۰/۱۱	۰/۱۱	Ti
۰/۰۱	۰/۰۱	۰/۰۱	۰/۰۱	۰/۰۱	Mn
۰/۰۱	۰	۰	۰/۰۱	۰	Ca
۲/۹۲	۲/۸۲	۲/۸۶	۲/۹۷	۲/۹۱	Cr
۰/۰۴	۰/۰۴	۰/۰۴	۰/۰۴	۰/۰۴	$\Sigma$
۰/۷۶	۰/۷۹	۰/۶۸	۰/۴۷	۰/۷۹	Na
۷/۷۷	۷/۷۲	۷/۰۹	۷/۷۵	۷/۷۴	Total

جدول ۴- آنالیزهای میکروپروب برای بیوتیت و گارنت از یک نمونه گرانوڈیوریت، بیوتیت بر اساس ۱۱ اکسیژن و گارنت بر اساس ۱۲ اکسیژن محاسبه شده است.

Grd	Grd	Grd		Grd	Grd	Grd	Grd	نمونه‌ی سنگ
Bit	Bit	Bit		Grt	Grt	Grt	Grt	کانی
۸#	۲#	۱#		۸#	۲#	۱#		PintNumber
۳۴/۶۱	۳۴/۵۵	۳۴/۲۵		Sio <sub>2</sub>	۳۷/۱۶	۳۶/۶۵	۳۶/۸۶	Sio <sub>2</sub>
۱/۷۶۳	۱/۷۷	۱/۸۸۷		Ai <sub>2</sub> O <sub>3</sub>	۲۱/۴۲	۲۱/۴۳	۲۱/۴۶	Ai <sub>2</sub> O <sub>3</sub>
۷/۴۸	۷/۴۵	۷/۰۸		Mgo	۲/۷۵	۲/۹	۱/۹۲	Mgo
۲۳/۲۳	۲۳/۲	۲۳/۶۵		Feo	۳۳/۹۴	۳۳/۸۴	۳۱/۳۲	Feo
۱/۹۲	۲	۲/۳۴		Tio <sub>2</sub>	۰/۰۹	۰/۱	۰/۰۳	Tio <sub>2</sub>
۰/۲۱	۰/۲۳	۰/۱۸		Mno	۴/۱۴	۴/۷۲	۸/۳۹	Mno
۰/۰۲	۰/۰۵	۰		Cao	۱/۱۷	۱/۱۴	۱/۲۴	Cao
۰/۱۵	۰/۲۲	۰/۱۹		Na <sub>2</sub> O	۰/۰۱	۰/۰۲	۰/۰۳	Na <sub>2</sub> O
۸/۴۹	۸/۴۹	۸/۰۵		K <sub>2</sub> O	۰	۰/۰۱	۰	K <sub>2</sub> O
۰/۰۳	۰/۰۶	۰/۰۳		Cr <sub>2</sub> O <sub>3</sub>	۰/۰۷	۰/۰۶	۰/۰۱	Cr <sub>2</sub> O <sub>3</sub>
۰	۰/۰۲	۰/۰۳		Nio	-	۰	۰	Nio
۹۴/۷۸	۹۴/۹۷	۹۵/۲		Total	۱۰۱/۴۴	۱۰۰/۸۸	۱۰۱/۲۷	Total
۱-b-۳	-bit1	-bit1						
۲/۶۹	۲/۶۸	۲/۶۶		Si	۲/۹۷	۲/۹۵	۲/۹۶	Si
۱/۳۱	۱/۳۲	۱/۳۴		AlIV	۲/۰۲	۲/۰۳	۲/۰۳	Ai
۴	۴	۴		$\Sigma$	۰/۰۳	۰/۰۵	۰/۰۳	Mg
۰/۴	۰/۴	۰/۳۹		AIVI	۲/۲۷	۲/۲۷	۲/۱۱	Fe
۰/۰۸۷	۰/۰۸۶	۰/۰۸۲		Mg	۰/۰۱	۰/۰۱	۰	Ti
۱/۵۱	۱/۵۱	۱/۰۴		Fe	۰/۰۳۳	۰/۰۳۲	۰/۰۵۷	Mn
۰/۱۱	۰/۱۲	۰/۱۴		Ti	۰/۱	۰/۱	۰/۱۱	Ca
۰/۰۱	۰/۱۲	۰/۰۴		Mn	۰	۰	۰	Na
۰	۰	۰		Ca	۰	۰	۰	k
۰	۰	۰		Cr	۰	۰	۰	Cr
۲/۹۱	۲/۹	۲/۹		$\Sigma$				Ni
۰/۰۲	۰/۰۳	۰/۰۳		Na	۸/۰۲	۸/۰۳	۸/۰۲	Total
۰/۰۸۴	۰/۰۸۴	۰/۰۸۵		K				
۷/۷۷	۷/۷۸	۷/۷۸		Total				

نیستند و از طرف دیگر در سنگ‌های دگرگونی میزبان چنین کانی‌های دانه درشتی به فراوانی یافت می‌شوند، لذا به نظر می‌رسد که این گارنت‌ها منشاء دگرگونی دارند. محاسبات دماسنجه گارنت- بیوتیت بر اساس تجزیه‌ی

بودن ذوب نشده‌اند و باقی مانده‌اند. وجود زینوکریست‌هایی از کانی‌های آندالوزیت در بخش‌های حاشیه‌ای این سنگ‌ها نیز این مطلب را تأیید می‌نماید. همچنین این بلورها دانه درشت هستند و قابل مقایسه با اندازه‌ی سایر کانی‌های سازنده‌ی این سنگ‌ها

تزریق ماقمای گرانیتوئیدی به درون سنگ‌های دگرگونی به وجود آمده‌اند. توده‌ی گرانیتوئیدی مهمترین عامل تأمین حرارت و آب لازم برای تشکیل این سنگ‌ها بوده است. این سنگ‌ها مرتبط با دگرگونی ناحیه‌ای نیستند، بلکه در ارتباط با دگرگونی مجاورتی می‌باشند و حضور توده‌ی گرانیتوئیدی برای تشکیل آن‌ها ضروری بوده است.

وجود کردپریت با ماکل ساعت‌شنبی و تبدیل آندالوزیت به سیلیمانیت منشوری در سنگ‌های منطقه حاکی از یک دگرگونی پیشرونده‌ی دما بالا می‌باشد. بر اساس روابط پاراژنتیکی طیف دمایی ۶۰۰-۶۵۰ درجه سانتی‌گراد برای این سنگ‌ها برآورد می‌شود. از طرف دیگر حضور آندالوزیت و نبود کیانیت در این سنگ‌ها حاکی از دگرگونی در فشارهای کمتر از چهار کیلوبار می‌باشد. به این ترتیب دگرگونی مجاورتی در منطقه‌ی مورد مطالعه حدّاً کثر تا حد رخساره‌ی پیروکسن هورنفلس پیش‌رفته است.

تجزیه‌ی پلاژیوکلازها نشان می‌دهد که ترکیب این کانی در هورنفلس‌ها در رده‌ی الیگوکلاز-آنذین قرار می‌گیرد. تجزیه‌ی مسکوویت نشان می‌دهد که ترکیب این کانی در گرانوپیوریت‌ها و هورنفلس‌ها کاملاً متفاوت است و مسکوویت موجود در گرانوپیوریت‌ها احتمالاً به خرج بیوتیت به وجود آمده است. وجود این کانی به صورت جوانه و پراکنده در حاشیه‌ی بیوتیت‌ها و نبود آن در جاهایی غیر از حضور بیوتیت نیز تأیید کننده‌ی این مطلب می‌باشد.

ترکیب گارنت در تمام نمونه‌های تجزیه شده در رده‌ی آلماندن-اسپسارتین قرار می‌گیرد و یک منطقه‌بندی را نشان می‌دهد. منطقه‌بندی این کانی در گرانوپیوریت‌های بخش حاشیه‌ی توده‌ی گرانیتوئیدی بروجرد شبیه به منطقه‌بندی موجود در گارنت هورنفلس‌ها می‌باشد، لذا تصور می‌شود تشابه تغییرات ترکیب گارنت در هورنفلس‌های بلافصل گرانوپیوریت‌ها و گارنت موجود در بخش‌های حاشیه‌ای این سنگ‌ها حکایت از هم منشاء بودن آن‌ها دارد.

محاسبات دماسنجی گارنت-بیوتیت بر روی یک نمونه هورنفلس نشان می‌دهد که دمای به دست آمده برای زوج همزیست گارنت-بیوتیت با احتساب متوسط همه کالیبراسیون‌ها ۴۷۲ درجه‌ی سانتی‌گراد دگرگون شده‌اند. سانتی‌گراد می‌باشد. این درجه حرارت در حقیقت نشان‌دهنده‌ی

#### جدول ۶- نتایج دماسنجی برای زوج‌های همزیست گارنت-بیوتیت در نمونه‌ی هورنفلس توسط شش کالیبراسیون مختلف

Bhattacharya et al. 1992, B92, Ferry & Spear 1978, FS78, Hodges & Spear 1982, HS82, Perchuk & Lavrent'eva 1983, PL83, Holdaway et al. 1997, HL97.

۱۴	۱۳	۵	۲	۱	Grt-Bit Pairs
۳	۳	۳	۳	۳	Pressure (K bar)
۴۸۰	۴۸۳	۴۷۹	۴۸۹	۴۵۳	B92-HW
۴۵۹	۴۶۹	۴۷۰	۴۶۶	۴۰۲	B92-GS
۴۵۱	۴۴۳	۴۲۹	۴۶۷	۴۵۸	FS78
۴۶۳	۴۵۵	۴۴۲	۴۷۹	۴۶۸	HS82
۵۰۷	۵۰۲	۴۹۴	۵۱۷	۵۱۲	PL83
۴۸۷	۴۸۱	۴۷۱	۴۹۹	۴۹۲	HL97

بیوتیت‌ها و گارنت‌های همزیست برای یک نمونه هورنفلس حاوی کوارتز، آکالای فلدسپار، پلاژیوکلاز، گارنت و بیوتیت انجام گرفته است (جداول ۳ و ۵). برای محاسبه‌ی دما با این روش از شش کالیبراسیون رایج استفاده شده و فشار حدّاً کثر سه کیلوبار منظور شده است (جدول ۶). همان‌طور که در جدول ۶ ملاحظه می‌شود، دمای به دست آمده برای زوج‌های همزیست با احتساب متوسط همه کالیبراسیون‌ها ۴۷۲ درجه‌ی سانتی‌گراد می‌باشد.

#### ۳- نتیجه‌گیری

سنگ‌های دگرگونی موجود در منطقه، شامل سنگ‌های دگرگونی ناحیه‌ای درجه‌ی پائین و مجاورتی درجه‌ی پائین تا درجه‌ی بالا می‌باشند. مرز بین این دو دگرگونی با توجه به شواهد بافتی و تغییرات کانی‌شناسی مشخص شد، به طوری که پیدایش بیوتیت به عنوان آغاز دگرگونی مجاورتی در نظر گرفته می‌شود.

سنگ‌های دگرگونی ناحیه‌ای شامل اسلیت و فیلیت می‌باشند و با توجه به پاراژنز کانی‌ها، در حد رخساره‌ی شیست‌سیز (زون کلریت) هستند و در دمای ۳۰۰-۴۰۰ درجه‌ی سانتی‌گراد دگرگون شده‌اند.

سنگ‌های دگرگونی مجاورتی شامل یک توالی کاملی از دگرگونی درجه‌ی پائین تا بالا شامل شیست‌لکه دار، هورنفلس شیست، هورنفلس و میگماتیت‌های تزریقی در بخش شمالی توده گرانیتوئیدی بروجرد می‌باشند. با توجه به شواهد صحرایی و میکروسکوپی، میگماتیت‌ها در اثر

"Geothermometry, geobarometry and Al<sub>2</sub>SiO<sub>5</sub> triple point at Mt. Moosilauke", *New Hampshire, American Mineralogist*, Vol. 67: 1118-1134.

**Holdaway, M. J., Mukhopadhyay, B., Dyar, M. D., Guidotti, C. V. & Dultrow, B. L., 1997**, "Garnet-biotite geothermometry revised: New margules parameters and a natural specimen data set from maine", *American Mineralogist*, Vol. 82 (5-6): 582-595.

**Hyndman, D. W., 1985**, "Petrology of igneous and metamorphic rocks", 2nd Ed., *McGraw-Hill*, New York, 786p.

**Masoudi, F., 1997**, "Contact metamorphism and pegmatite development in the region SW, of Arak, Iran", *Ph. D Theses, Leeds University, UK. Dept. of earth sciences*, 127p.

**Pattison, D. R. & Tracy, R. J., 1991**, "Phase equilibria and thermobarometry of metapelites", In: Kerrick, D. M. (Ed.), *Contact metamorphism, Rev. Mineral.*, Vol. 26: 105- 206.

**Perchuk, L. L & Lavrent'eva, I. V., 1983**, "Experimental investigation of exchange equilibria in the system cordierite-garnet-biotite", In: S. K. Saxena, (Ed.), *Kinetics and equilibrium in mineral reactions*, Springer-Verlag, New York: 199-239.

**Turner, F. J., 1968**, "Metamorphic petrology: mineralogical and field aspects", *McGraw-Hill*, New York, 403p.

**Winkler, H. G. F., 1976**, "Petrogenesis of metamorphic rocks", 4th Ed., Springer- Verlag, New York, xii, 334, figs. and tabs. in text, refs., index. Orig. stiff wrs.

**Yardley, B. W. D., 1989**, "An introduction to metamorphic petrology", Longman Scientific, Technical, Harlow, England, 248p.

دمایی است که زوج گارنت و بیوتیت در آن به تعادل رسیده‌اند.

## مراجع

احمدی خلیجی، ا.، ۱۳۸۵، پترولوزی توده‌ی گرانیتوئیدی بروجرد. رساله‌ی دکتری، پردیس علوم، دانشکده‌ی زمین‌شناسی، دانشگاه تهران، ۱۹۰ ص.

رادرف، ج.، ۱۳۶۶، بررسی‌های زمین‌شناسی و پترولوزی سنگ‌های گرانیتوئیدی ناحیه‌ی آستانه - گوشه "پایان نامه‌ی کارشناسی ارشد، دانشکده‌ی علوم، دانشگاه تهران، ۱۵۹ ص.

واعظی‌پور، م. ج. و اقلیمی، ب.، ۱۳۶۳، یافته‌های نوین در نهشته‌های ژوراسیک ناحیه‌ی لکان (چهارگوش گلپایگان) گزارش داخلی، سازمان زمین‌شناسی و اکتشافات معدنی کشور.

**Ahmadi-Khalaji, A., Esmaeily, D., Valizadeh, M. V. & Rahimpour-Bonab, H., 2007**, "Petrology and geochemistry of the granitoid complex of Boroujerd, Sanandaj-Sirjan zone, Western Iran", *J. Asian Earth Sci.*, Vol. 29 (5-6): 859-877.

**Barker, A. J., 1990**, "Introduction to metamorphic textures and microstructure", *Bakie*, Glasgow, 162p.

**Berthier, F., Billiault, J. P., Halbronn, B. & Maurizot, P., 1974**, "Etude stratigraphique, petrologique et structurale de la région de Khorramabad (Zagros, Iran)", *Thése de 3e cycle, Grenoble*, pp. 282.

**Bhattacharya, A., Mohanty, L., Maji, A., Sen, S. K. & Raith, M., 1992**, "Non-ideal mixing in the phlogopite-annite binary: constraints from experimental data on Mg-Fe partitioning and a reformulation of the biotite-garnet geothermometer", *Contributions to Mineralogy and Petrology*, Vol. 111 (1): 87-93.

**Bucher, K. & Frey, M., 1994**, "Petrogenesis of metamorphic rocks", Springer-Verlag, Berlin, 318 p.

**Deer, W. A., Howie, R. A. & Zussman, J., 1992**, "An introduction to the rock- forming minerals", 17th, Longman Scientific and Technical, 528 p.

**Ferry, J. M. & Spear, F. S., 1978**, "Experimental calibration of the partitioning of Fe and Mg between biotite and garnet", *Contributions to Mineralogy and Petrology*, Vol. 66 (2): 113-117.

**Foster, C. T., 1991**, "The role of biotite as a catalyst in reaction mechanisms that form sillimanite", *The Canadian Mineralogist, Mineralogical Association of Canada*, Vol. 29(4): 943-963.

**Hodges, K. V. & Spear, F. S., 1982**,